

Modélisation et optimisation de la production d'algues : défis et enjeux

Olivier Bernard, J. Ignacio Fierro u., Liu-Di LU, Jacques Sainte-Marie,
Julien Salomon

April 13, 2023

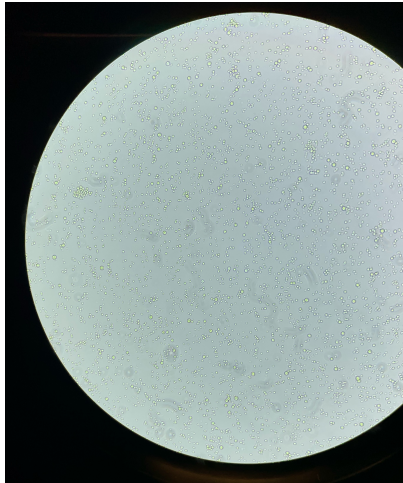


Introduction

★ Microalgues

- ▶ micro-organismes photosynthétiques,
- ▶ 2 à 50 micro-mètres,
- ▶ environnement aquatique: rivière, lac, océan, etc,
- ▶ fixé CO₂.

Introduction



Introduction

★ Microalgues

- ▶ micro-organismes photosynthétiques,
- ▶ 2 à 50 micro-mètres,
- ▶ environnement aquatique: rivière, lac, océan, etc,
- ▶ fixé CO₂.

★ Utilités

- ▶ treatment de l'eau usée,
- ▶ production de la biomasse,
- ▶ divers métabolites secondaires.

Introduction



Introduction

★ Microalgues

- ▶ micro-organismes photosynthétiques,
- ▶ 2 à 50 micro-mètres,
- ▶ environnement aquatique: rivière, lac, océan, etc,
- ▶ fixé CO₂.

★ Utilités

- ▶ treatment de l'eau usée,
- ▶ production de la biomasse,
- ▶ divers métabolites secondaires.

★ Photobioréacteurs: industrie et laboratoire.

Introduction



Figure: Raceway pond (Hawai'i)

Introduction



Figure: Raceway pond (Villefranche-sur-Mer)

Introduction



Figure: Biofilm

Introduction



Introduction



Introduction

★ Microalgues

- ▶ micro-organismes photosynthétiques,
- ▶ 2 à 50 micro-mètres,
- ▶ environnement aquatique: rivière, lac, océan, etc,
- ▶ fixé CO₂.

★ Utilités

- ▶ treatment de l'eau usée,
- ▶ production de la biomasse,
- ▶ divers métabolites secondaires.

★ Photobioréacteurs: **Raceway pond**.

Introduction

★ Microalgues

- ▶ micro-organismes photosynthétiques,
- ▶ 2 à 50 micro-mètres,
- ▶ environnement aquatique: rivière, lac, océan, etc,
- ▶ fixé CO₂.

★ Utilités

- ▶ treatment de l'eau usée,
- ▶ production de la biomasse,
- ▶ divers métabolites secondaires.

★ Photobioréacteurs: **Raceway pond**.

★ Facteur d'impact: **lumière**, température, pH, nutriments, etc.

Introduction

★ Microalgues

- ▶ micro-organismes photosynthétiques,
- ▶ 2 à 50 micro-mètres,
- ▶ environnement aquatique: rivière, lac, océan, etc,
- ▶ fixé CO₂.

★ Utilités

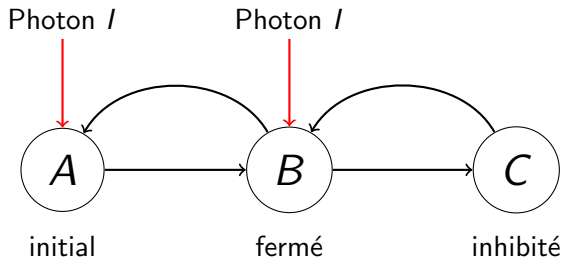
- ▶ treatment de l'eau usée,
- ▶ production de la biomasse,
- ▶ divers métabolites secondaires.

★ Photobioréacteurs: **Raceway pond**.

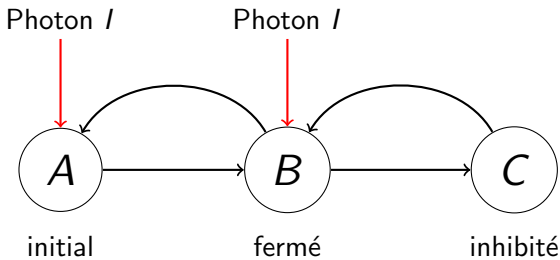
★ Facteur d'impact: **lumière**, température, pH, nutriments, etc.

★ Modèle biologie: **modèle de Han**, modèle Haldane, modèle de Droop, etc.

Modèle de Han



Modèle de Han



$$\begin{cases} \dot{A} = -\sigma IA + \frac{B}{\tau} \\ \dot{B} = \sigma IA - \frac{B}{\tau} + k_r C - k_d \sigma IB \\ \dot{C} = -k_r C + k_d \sigma IB \end{cases}$$

avec $A + B + C = 1$.

Modèle de Han

- Eliminer B

$$\begin{pmatrix} \dot{A} \\ \dot{C} \end{pmatrix} = \begin{pmatrix} 1 & 0 \\ 0 & k_d \end{pmatrix} \left[- \begin{pmatrix} \sigma I + \frac{1}{\tau} & \frac{1}{\tau} \\ \sigma I & \sigma I + \frac{k_r}{k_d} \end{pmatrix} \begin{pmatrix} A \\ C \end{pmatrix} + \begin{pmatrix} \frac{1}{\tau} \\ \sigma I \end{pmatrix} \right],$$

un système lent-rapide car $k_d \approx 10^{-4}$.

Modèle de Han

- Eliminer B

$$\begin{pmatrix} \dot{A} \\ \dot{C} \end{pmatrix} = \begin{pmatrix} 1 & 0 \\ 0 & k_d \end{pmatrix} \left[- \begin{pmatrix} \sigma I + \frac{1}{\tau} & \frac{1}{\tau} \\ \sigma I & \sigma I + \frac{k_r}{k_d} \end{pmatrix} \begin{pmatrix} A \\ C \end{pmatrix} + \begin{pmatrix} \frac{1}{\tau} \\ \sigma I \end{pmatrix} \right],$$

un système lent-rapide car $k_d \approx 10^{-4}$.

- Modèle avec T grand (modèle de base fréquence)

$$\dot{C} = - \left(\frac{k_d \tau (\sigma I)^2}{1 + \tau \sigma I} + k_r \right) C + \frac{k_d \tau (\sigma I)^2}{1 + \tau \sigma I}.$$

Modèle de Han

- Eliminer B

$$\begin{pmatrix} \dot{A} \\ \dot{C} \end{pmatrix} = \begin{pmatrix} 1 & 0 \\ 0 & k_d \end{pmatrix} \left[- \begin{pmatrix} \sigma I + \frac{1}{\tau} & \frac{1}{\tau} \\ \sigma I & \sigma I + \frac{k_r}{k_d} \end{pmatrix} \begin{pmatrix} A \\ C \end{pmatrix} + \begin{pmatrix} \frac{1}{\tau} \\ \sigma I \end{pmatrix} \right],$$

un système lent-rapide car $k_d \approx 10^{-4}$.

- Modèle avec T grand (modèle de base fréquence)

$$\dot{C} = - \left(\frac{k_d \tau (\sigma I)^2}{1 + \tau \sigma I} + k_r \right) C + \frac{k_d \tau (\sigma I)^2}{1 + \tau \sigma I}.$$

- Modèle avec T petit (modèle de haute fréquence)

$$\dot{A} = - \left(\sigma I + \frac{1}{\tau} \right) A + \frac{k_r - k_d \sigma \bar{I} \bar{A}}{\tau (k_d \sigma \bar{I} + k_r)}.$$

Modèle de Han

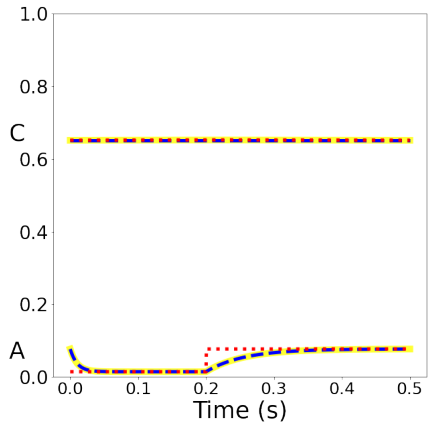


Figure: $T = 0.5$ s.

Modèle de Han

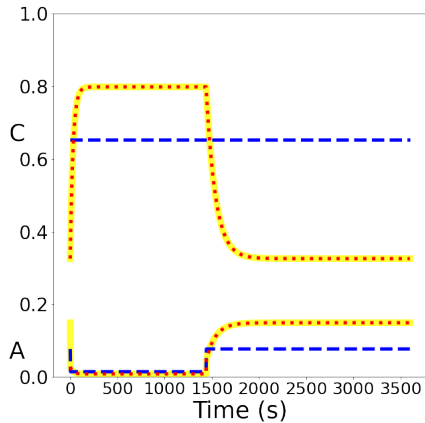


Figure: $T = 3600$ s.

Taux de croissance et modèle de lumière

- Définition dans le contexte du modèle de Han

$$\mu(A, I) := k\sigma IA$$



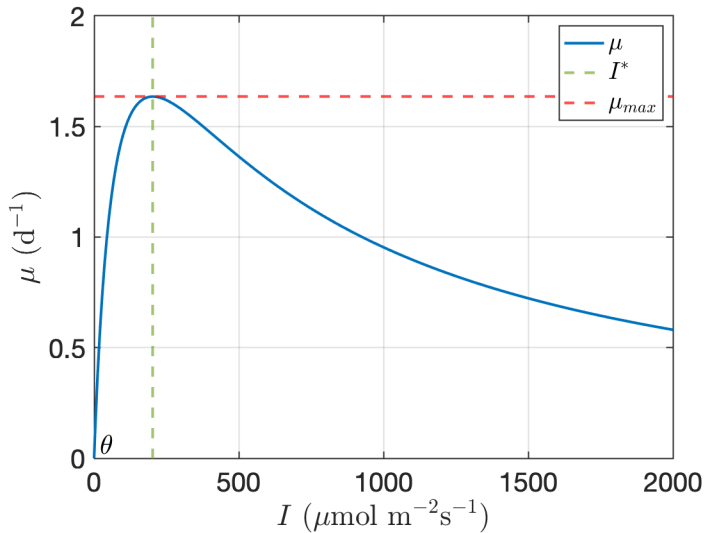
état équilibre

$$\mu(I) = \mu_{\max} \frac{I}{I + \frac{\mu_{\max}}{\theta} (\frac{I}{I^*} - 1)^2} \quad (\text{Haldane})$$

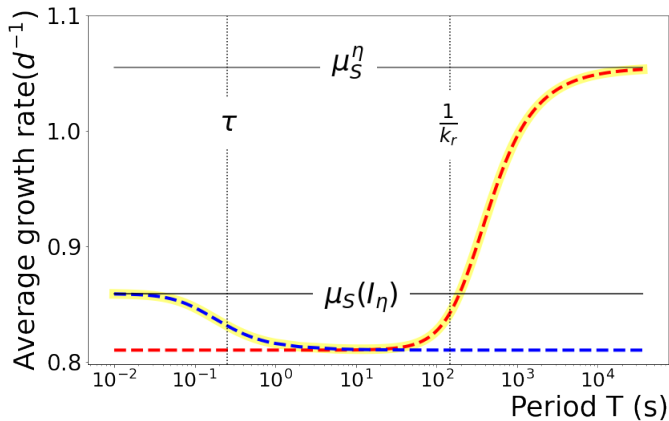
avec

$$\theta = k\sigma, \quad I^* = \sqrt{\frac{k_r}{k_d \tau \sigma^2}}, \quad \mu_{\max} = \frac{k\sigma}{\tau \sigma + 2\sqrt{\frac{k_d \tau \sigma^2}{k_r}}}.$$

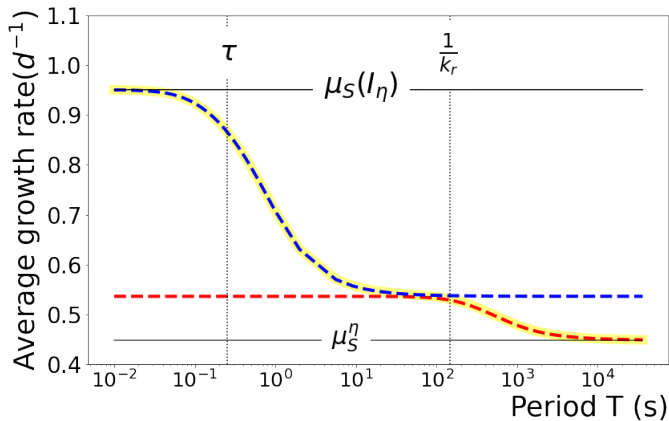
Taux de croissance et modèle de lumière



Taux de croissance et modèle de lumière



Taux de croissance et modèle de lumière



Taux de croissance et modèle de lumière

- Définition dans le contexte du modèle de Han

$$\mu(A, I) := k\sigma IA$$



état équilibre

$$\mu(I) = \mu_{\max} \frac{I}{I + \frac{\mu_{\max}}{\theta} (\frac{I}{I^*} - 1)^2} \quad (\text{Haldane})$$

avec

$$\theta = k\sigma, \quad I^* = \sqrt{\frac{k_r}{k_d \tau \sigma^2}}, \quad \mu_{\max} = \frac{k\sigma}{\tau \sigma + 2\sqrt{\frac{k_d \tau \sigma^2}{k_r}}}.$$

- Biomasse

$$\dot{X} = (\mu - R - D)X.$$

Taux de croissance et modèle de lumière

- Définition dans le contexte du modèle de Han

$$\mu(A, I) := k\sigma IA$$



état équilibre

$$\mu(I) = \mu_{\max} \frac{I}{I + \frac{\mu_{\max}}{\theta} (\frac{I}{I^*} - 1)^2} \quad (\text{Haldane})$$

avec

$$\theta = k\sigma, \quad I^* = \sqrt{\frac{k_r}{k_d \tau \sigma^2}}, \quad \mu_{\max} = \frac{k\sigma}{\tau\sigma + 2\sqrt{\frac{k_d \tau \sigma^2}{k_r}}}.$$

- Biomasse

$$\dot{X} = (\mu - R - D)X.$$

- Loi de Beer-Lambert:

$$I(z) = I_s \exp(-\varepsilon z).$$

Modélisation et optimisation du raceway pond

Raceway ponds:

- ▶ le plus répandu et le moins cher,
- ▶ bassin avec roue à aubes.



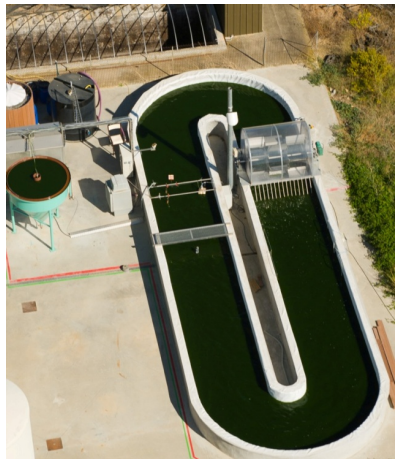
Modélisation et optimisation du raceway pond

Raceway ponds:

- ▶ le plus répandu et le moins cher,
- ▶ bassin avec roue à aubes.

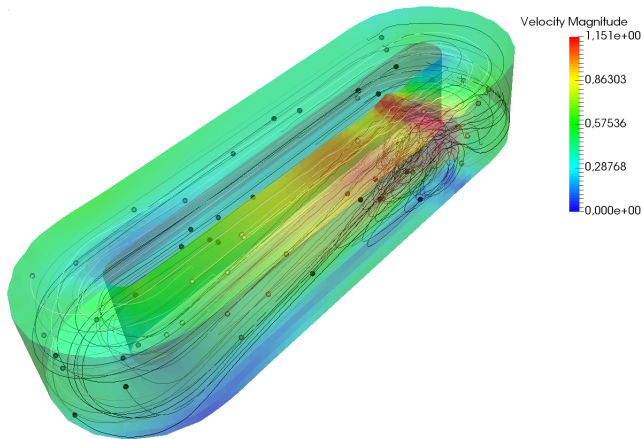
Difficultés:

- ▶ système complexe,
- ▶ simulation coûteuse,
- ▶ difficile à formuler le problème d'optimisation.



Modélisation et optimisation du raceway pond

Simulation des trajectoires avec le code FreshKiss3D (*Demory et al.* 2018).



Modélisation et optimisation du raceway pond

Raceway ponds:

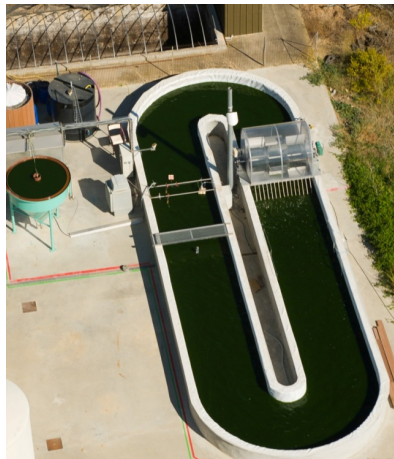
- ▶ le plus répandu et le moins cher,
- ▶ bassin avec roue à aubes.

Difficultés:

- ▶ système complex,
- ▶ simulation couteuse,
- ▶ difficile à formuler le problème d'optimisation.

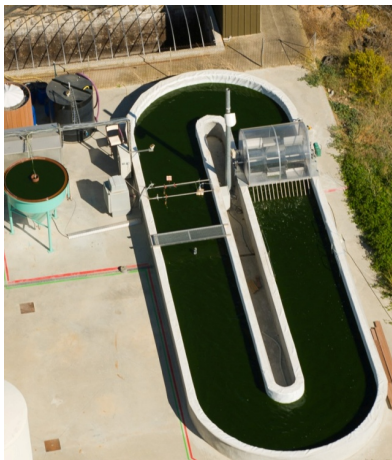
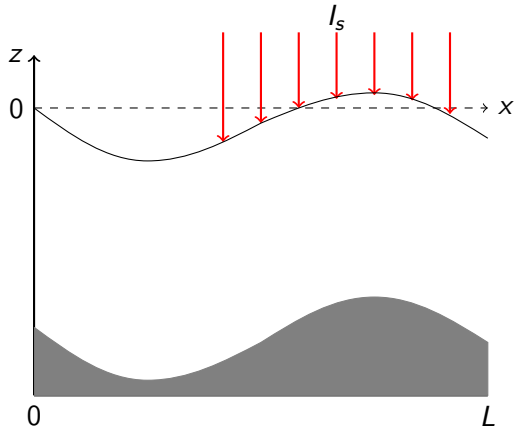
Paramètres à optimiser:

- ▶ topographie,



Modélisation et optimisation du raceway pond

1D illustration



Modélisation et optimisation du raceway pond

Raceway ponds:

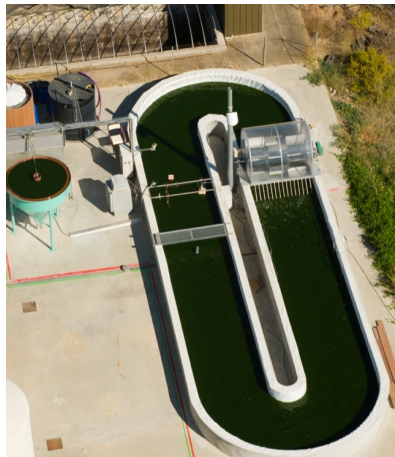
- ▶ le plus répandu et le moins cher,
- ▶ bassin avec roue à aubes.

Difficultés:

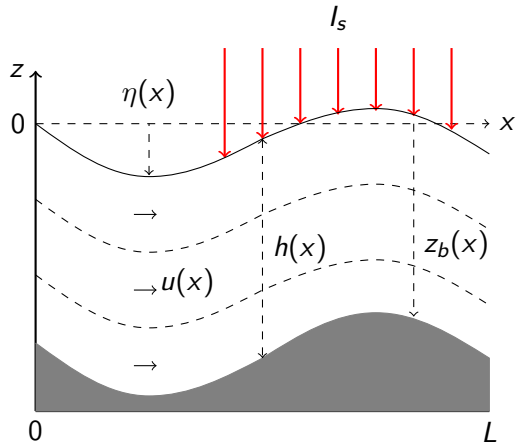
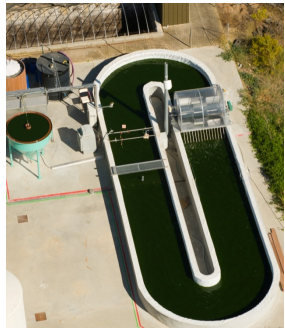
- ▶ système complexe,
- ▶ simulation coûteuse,
- ▶ difficile à formuler le problème d'optimisation.

Paramètres à optimiser:

- ▶ topographie,
- ▶ mélange.



1D Illustration



Equations de Saint-Venant

► Equation de Saint-Venant stationnaire 1D

$$\partial_x(hu) = 0, \quad \partial_x\left(hu^2 + g\frac{h^2}{2}\right) = -gh\partial_x z_b.$$

Équations de Saint-Venant

- Relation entre z_b et h

$$z_b = \frac{M_0}{g} - \frac{Q_0^2}{2gh^2} - h,$$

$Q_0, M_0 \in \mathbb{R}^+$ sont deux constantes.

Équations de Saint-Venant

- Relation entre z_b et h

$$z_b = \frac{M_0}{g} - \frac{Q_0^2}{2gh^2} - h,$$

$Q_0, M_0 \in \mathbb{R}^+$ sont deux constantes.

- Nombre de Froude:

$$Fr := \frac{u}{\sqrt{gh}}.$$

$Fr < 1$: l'écoulement fluvial,

$Fr > 1$: l'écoulement torrentiel.

Équations de Saint-Venant

- Relation entre z_b et h

$$z_b = \frac{M_0}{g} - \frac{Q_0^2}{2gh^2} - h,$$

$Q_0, M_0 \in \mathbb{R}^+$ sont deux constantes.

- Nombre de Froude:

$$Fr := \frac{u}{\sqrt{gh}}.$$

$Fr < 1$: l'écoulement fluvial,

$Fr > 1$: l'écoulement torrentiel.

- Pour une topographie régulière donnée z_b , il existe **une unique** solution positive régulière h qui satisfait la condition $Fr < 1$ (*Michel-Dansac et al 2016*).

Équations de Saint-Venant

- Relation entre z_b et h

$$z_b = \frac{M_0}{g} - \frac{Q_0^2}{2gh^2} - h,$$

$Q_0, M_0 \in \mathbb{R}^+$ sont deux constantes.

- Nombre de Froude:

$$Fr := \frac{u}{\sqrt{gh}}.$$

$Fr < 1$: l'écoulement fluvial,

$Fr > 1$: l'écoulement torrentiel.

- Pour une topographie régulière donnée z_b , il existe **une unique** solution positive régulière h qui satisfait la condition $Fr < 1$ (*Michel-Dansac et al 2016*).
- Une formulation **indépendante du temps** du trajectoire Lagrangien commencé par $z(0)$:

$$z(x) = \eta(x) + \frac{h(x)}{h(0)}(z(0) - \eta(0)).$$

Problème d'optimisation

- Objective: optimiser la topographie z_b .

Problème d'optimisation

- ▶ Objective: optimiser la topographie z_b .
- ▶ Fonction de coût: taux de croissance moyen.

$$\bar{\mu}_\infty := \frac{1}{V} \int_0^L \int_{z_b(x)}^{\eta(x)} \mu(C(x, z), I(x, z)) dz dx$$

Problème d'optimisation

- Objective: optimiser la topographie z_b .
- Fonction de coût: taux de croissance moyen.

$$\bar{\mu}_\infty := \frac{1}{V} \int_0^L \int_{z_b(x)}^{\eta(x)} \mu(C(x, z), I(x, z)) dz dx$$

 **discretization verticale**

$$\bar{\mu}_{N_z} = \frac{1}{VN_z} \sum_{i=1}^{N_z} \int_0^L \mu(C_i, I_i) h dx$$

Problème d'optimisation

- Objective: optimiser la topographie z_b .
- Fonction de coût: taux de croissance moyen.

$$\bar{\mu}_\infty := \frac{1}{V} \int_0^L \int_{z_b(x)}^{\eta(x)} \mu(C(x, z), I(x, z)) dz dx$$

 **discretization verticale**

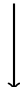
$$\bar{\mu}_{N_z} = \frac{1}{VN_z} \sum_{i=1}^{N_z} \int_0^L \mu(C_i, I_i) h dx$$

- Volume du système: $V = \int_0^L h(x) dx$.

Problème d'optimisation

- Objective: optimiser la topographie z_b .
- Fonction de coût: taux de croissance moyen.

$$\bar{\mu}_\infty := \frac{1}{V} \int_0^L \int_{z_b(x)}^{\eta(x)} \mu(C(x, z), I(x, z)) dz dx$$

 **discretization verticale**

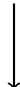
$$\bar{\mu}_{N_z} = \frac{1}{VN_z} \sum_{i=1}^{N_z} \int_0^L \mu(C_i, I_i) h dx$$

- Volume du système: $V = \int_0^L h(x) dx$.
- Paramétriser h par un vecteur $a := [a_1, \dots, a_{N_a}] \in \mathbb{R}^{N_a}$, e.g.
Truncated Fourier.

Problème d'optimisation

- Objective: optimiser la topographie z_b .
- Fonction de coût: taux de croissance moyen.

$$\bar{\mu}_\infty := \frac{1}{V} \int_0^L \int_{z_b(x)}^{\eta(x)} \mu(C(x, z), I(x, z)) dz dx$$

 **discretization verticale**

$$\bar{\mu}_{N_z} = \frac{1}{VN_z} \sum_{i=1}^{N_z} \int_0^L \mu(C_i, I_i) h dx$$

- Volume du système: $V = \int_0^L h(x) dx$.
- Paramétriser h par un vecteur $a := [a_1, \dots, a_{N_a}] \in \mathbb{R}^{N_a}$, e.g.
Truncated Fourier.
- Chaine du calcul:

$$h(a) \rightarrow z_i \rightarrow I_i \rightarrow C_i \rightarrow \bar{\mu}_{N_z}.$$

Problème d'optimisation

- Objective: optimiser la topographie z_b .
- Fonction de coût: taux de croissance moyen.

$$\bar{\mu}_\infty := \frac{1}{V} \int_0^L \int_{z_b(x)}^{\eta(x)} \mu(C(x, z), I(x, z)) dz dx$$

 **discretization verticale**

$$\bar{\mu}_{N_z} = \frac{1}{VN_z} \sum_{i=1}^{N_z} \int_0^L \mu(C_i, I_i) h dx$$

- Volume du système: $V = \int_0^L h(x) dx$.
- Paramétriser h par un vecteur $a := [a_1, \dots, a_{N_a}] \in \mathbb{R}^{N_a}$, e.g.
Truncated Fourier.
- Chaine du calcul:

$$h(a) \rightarrow z_i \rightarrow I_i \rightarrow C_i \rightarrow \bar{\mu}_{N_z}.$$

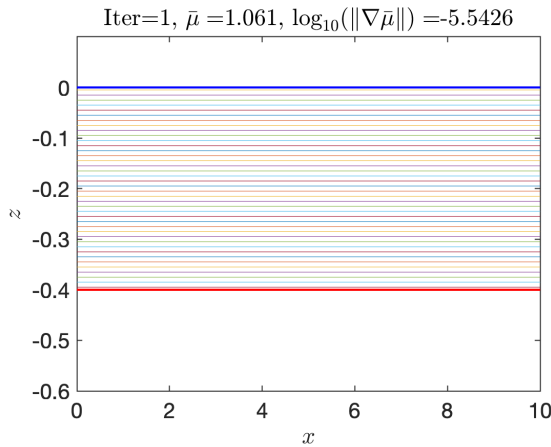
- Méthode de l'adjoint $\rightarrow \nabla \bar{\mu}_{N_z}(a)$.

Topographie optimale

Nombre de parameters: $N_a = 5$.

Nombre de trajectoires: $N_z = 40$.

Initialisation: topographie plate.

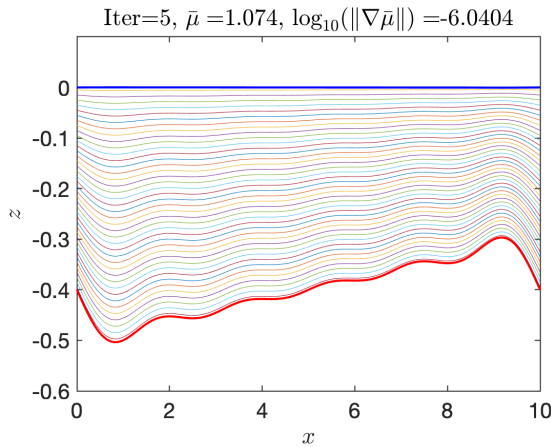


Topographie optimale

Nombre de parameters: $N_a = 5$.

Nombre de trajectoires: $N_z = 40$.

Initialisation: topographie plate.

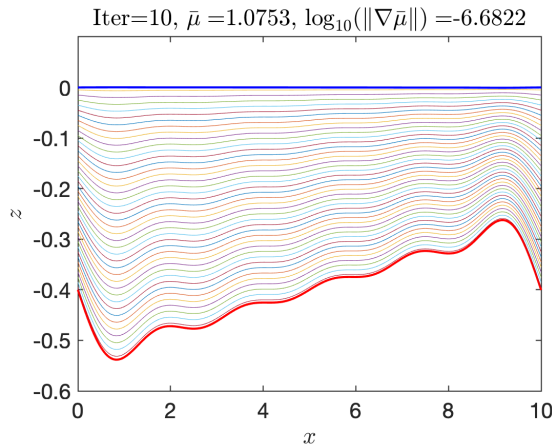


Topographie optimale

Nombre de parameters: $N_a = 5$.

Nombre de trajectoires: $N_z = 40$.

Initialisation: topographie plate.

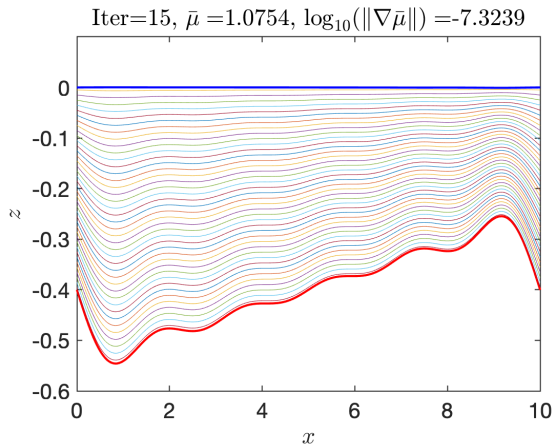


Topographie optimale

Nombre de parameters: $N_a = 5$.

Nombre de trajectoires: $N_z = 40$.

Initialisation: topographie plate.

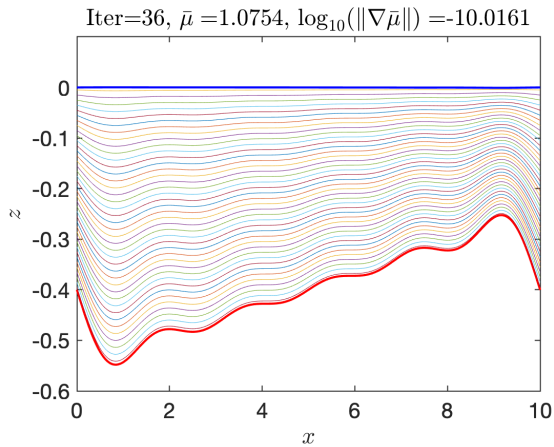


Topographie optimale

Nombre de paramètres: $N_a = 5$.

Nombre de trajectoires: $N_z = 40$.

Initialisation: topographie plate.



Assumption

Etat de photoinhibition C est périodique c-à-d $C_i(L) = C_i(0)$,
 $i = [1, \dots, N_z]$.

Régime permanent

Assumption

Etat de photoinhibition C est périodique c-à-d $C_i(L) = C_i(0)$,
 $i = [1, \dots, N_z]$.

Theorem (Topographie plate)

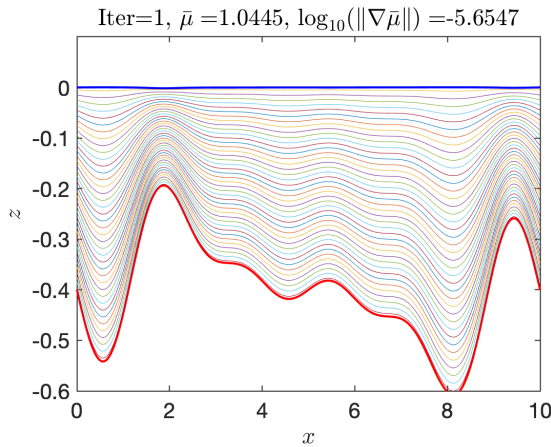
Supposons que le volume du système V est constant, alors $\nabla \bar{\mu}_{N_z}(0) = 0$.

Régime permanent

Nombre de paramètres: $N_a = 5$.

Nombre de trajectoires: $N_z = 40$.

Initialisation: topographie aléatoire.

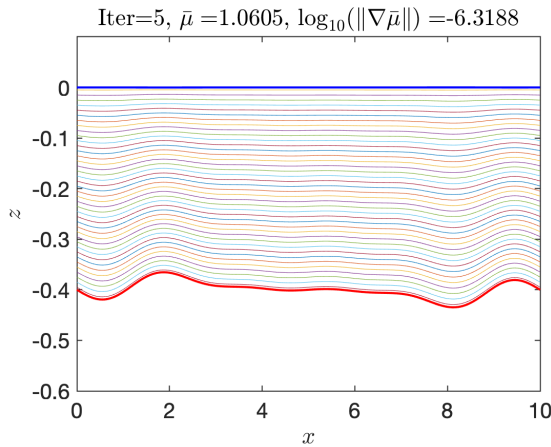


Régime permanent

Nombre de paramètres: $N_a = 5$.

Nombre de trajectoires: $N_z = 40$.

Initialisation: topographie aléatoire.

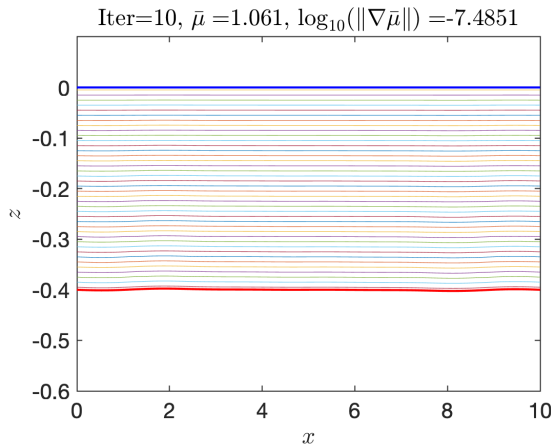


Régime permanent

Nombre de paramètres: $N_a = 5$.

Nombre de trajectoires: $N_z = 40$.

Initialisation: topographie aléatoire.

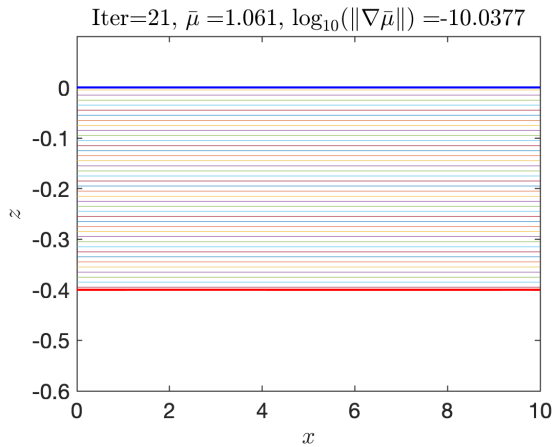


Régime permanent

Nombre de paramètres: $N_a = 5$.

Nombre de trajectoires: $N_z = 40$.

Initialisation: topographie aléatoire.



Modélisation du mélange

Modélisation du mélange

Assumption (mélange parfait)

A chaque nouveau tour, les algues situées à la profondeur z_i **sont entièrement transférées dans la position z_j** lors de leur passage dans le dispositif de mélange.

Modélisation du mélange

Assumption (mélange parfait)

A chaque nouveau tour, les algues situées à la profondeur z_i sont entièrement transférées dans la position z_j lors de leur passage dans le dispositif de mélange.

Notations

On note par \mathcal{P} l'ensemble des **matrices de permutation** de taille $N_z \times N_z$ et par \mathfrak{S}_{N_z} l'ensemble associé des permutations de N_z éléments.

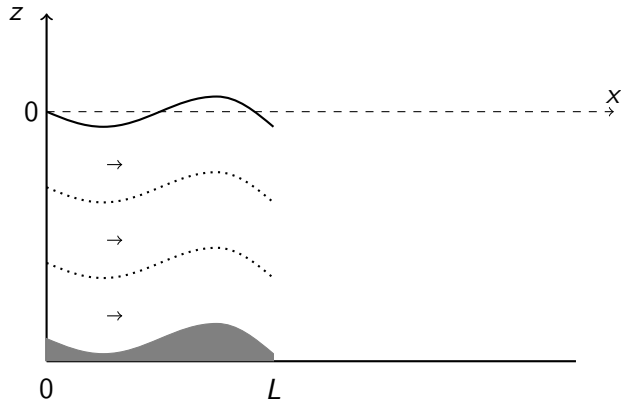
Modélisation du mélange

Illustration avec la permutation $\sigma = (1\ 2\ 3\ 4)$.



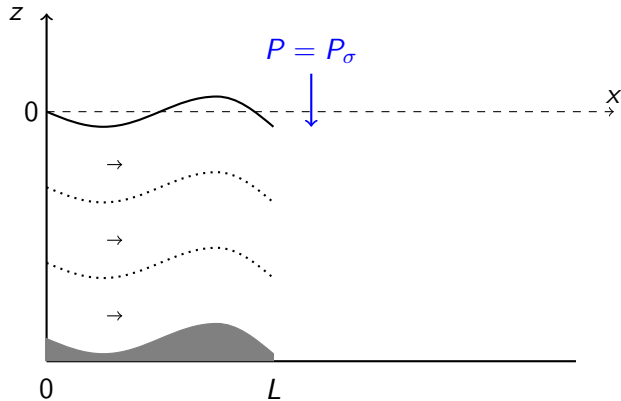
Modélisation du mélange

Illustration avec la permutation $\sigma = (1\ 2\ 3\ 4)$.



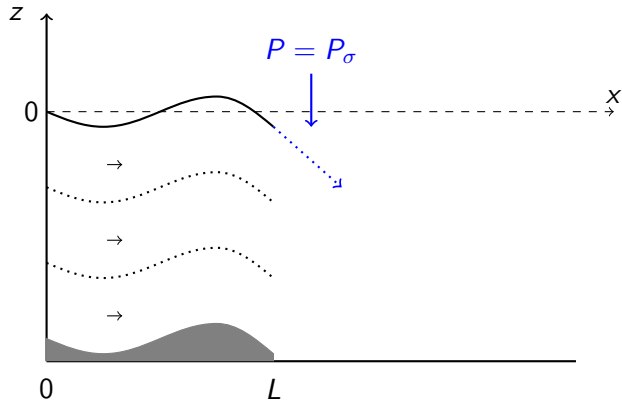
Modélisation du mélange

Illustration avec la permutation $\sigma = (1\ 2\ 3\ 4)$.



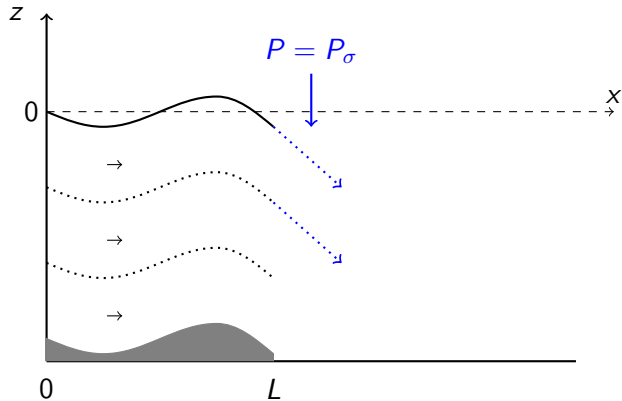
Modélisation du mélange

Illustration avec la permutation $\sigma = (1 \ 2 \ 3 \ 4)$.



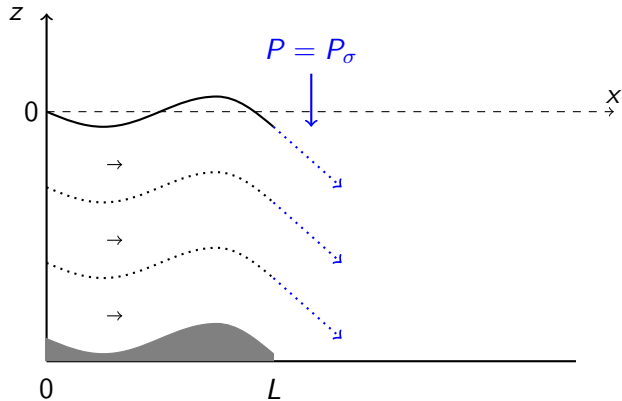
Modélisation du mélange

Illustration avec la permutation $\sigma = (1\ 2\ 3\ 4)$.



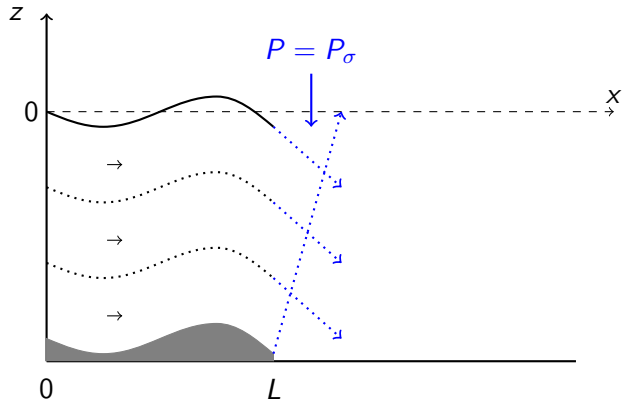
Modélisation du mélange

Illustration avec la permutation $\sigma = (1 \ 2 \ 3 \ 4)$.



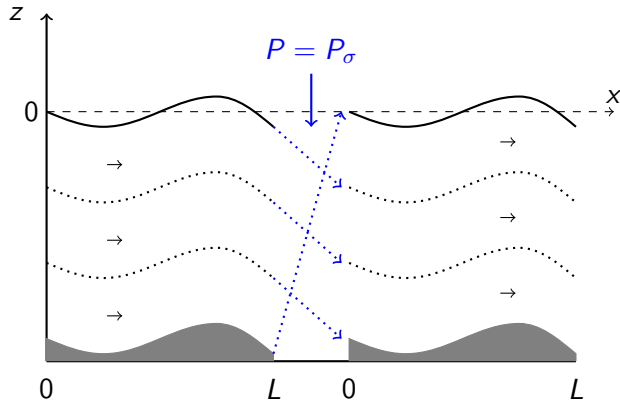
Modélisation du mélange

Illustration avec la permutation $\sigma = (1\ 2\ 3\ 4)$.



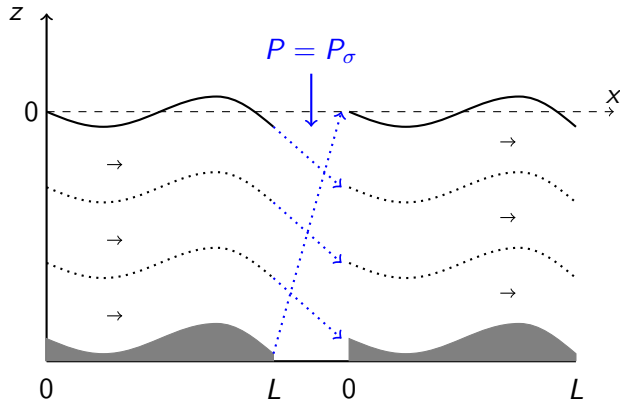
Modélisation du mélange

Illustration avec la permutation $\sigma = (1\ 2\ 3\ 4)$.



Modélisation du mélange

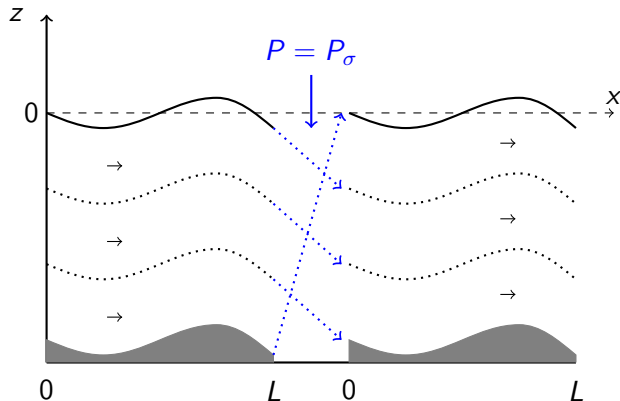
Illustration avec la permutation $\sigma = (1\ 2\ 3\ 4)$.



Choix de la période?

Modélisation du mélange

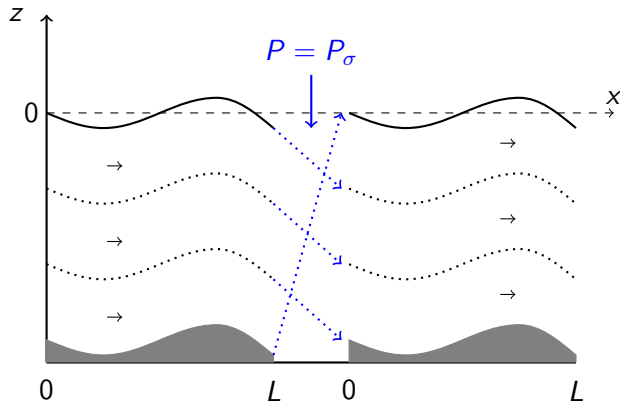
Illustration with the permutation $\sigma = (1\ 2\ 3\ 4)$.



Choix de la période? l'ordre de σ .

Modélisation du mélange

Illustration with the permutation $\sigma = (1\ 2\ 3\ 4)$.



Choix de la période? l'ordre de σ .

Re-distribution de la lumière.

Problème d'allocation des ressources périodique et dynamique

N ressources



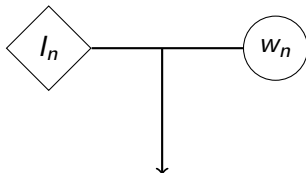
N activités



Problème d'allocation des ressources périodique et dynamique

N ressources

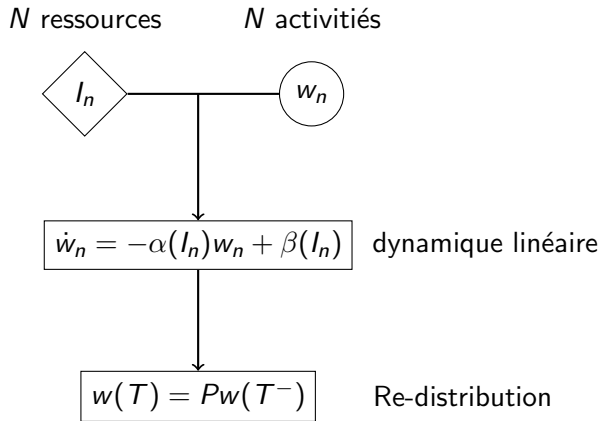
N activités



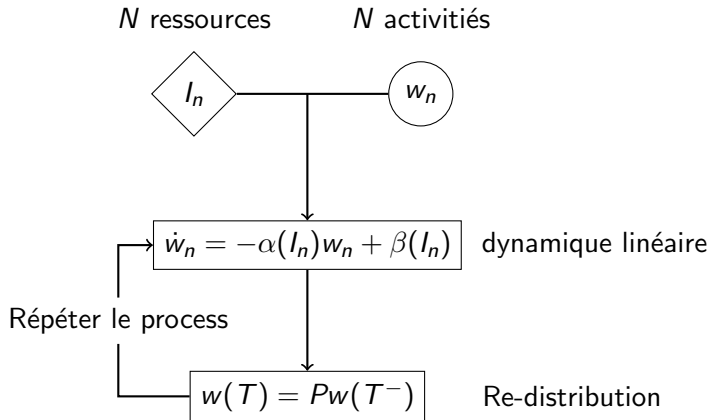
$$\dot{w}_n = -\alpha(I_n)w_n + \beta(I_n)$$

dynamique linéaire

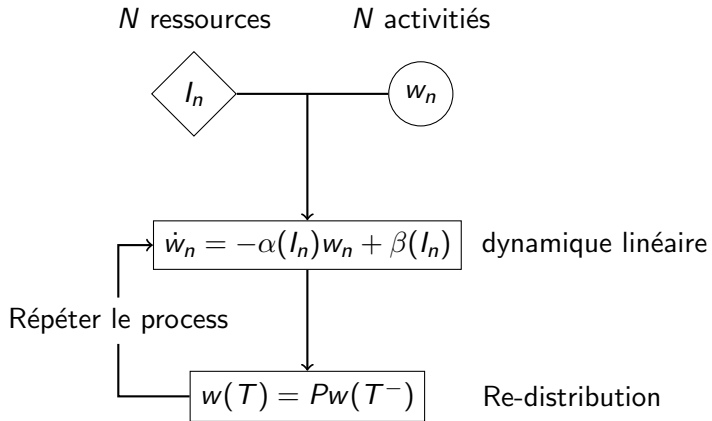
Problème d'allocation des ressources périodique et dynamique



Problème d'allocation des ressources périodique et dynamique



Problème d'allocation des ressources périodique et dynamique



Theorem (Une période est suffisante)

Si w est KT -périodique (i.e., $w(T_K) = w(T_0)$), alors w est T -périodique.

Problème d'optimisation

Fonction de coût

$$\max_{P \in \mathcal{P}} J(P) := \max_{P \in \mathcal{P}} \langle u, (\mathcal{I}_N - PD)^{-1} Pv \rangle,$$

deux vecteurs u, v et une matrice diagonale D tout dépendent de $(I_n)_{n=1}^N$.

Problème d'optimisation

Fonction de coût

$$\max_{P \in \mathcal{P}} J(P) := \max_{P \in \mathcal{P}} \langle u, (\mathcal{I}_N - PD)^{-1} Pv \rangle,$$

deux vecteurs u, v et une matrice diagonale D tout dépendent de $(I_n)_{n=1}^N$.

Remark

Étant donné que $\#\mathfrak{S} = N!$, ce problème ne peut pas être abordé dans les cas réalistes où de grandes valeurs de N doivent être prises en compte, par exemple pour conserver une bonne précision numérique.

Problème d'optimisation

Fonction de coût

$$\max_{P \in \mathcal{P}} J(P) := \max_{P \in \mathcal{P}} \langle u, (\mathcal{I}_N - PD)^{-1} Pv \rangle,$$

deux vecteurs u, v et une matrice diagonale D tout dépendent de $(I_n)_{n=1}^N$.

Remark

Étant donné que $\#\mathfrak{S} = N!$, ce problème ne peut pas être abordé dans les cas réalistes où de grandes valeurs de N doivent être prises en compte, par exemple pour conserver une bonne précision numérique.

Développer la fonction de coût comme

$$\underbrace{\langle u, (\mathcal{I}_N - PD)^{-1} Pv \rangle}_{J(P)} = \sum_{\ell=0}^{+\infty} \langle u, (PD)^\ell Pv \rangle = \underbrace{\langle u, Pv \rangle}_{J_{\text{approx}}(P)} + \sum_{\ell=1}^{+\infty} \langle u, (PD)^\ell Pv \rangle.$$

Problème d'optimisation

Fonction de coût

$$\max_{P \in \mathcal{P}} J(P) := \max_{P \in \mathcal{P}} \langle u, (\mathcal{I}_N - PD)^{-1} Pv \rangle,$$

Problème simplifié

$$\max_{P \in \mathcal{P}} J^{\text{approx}}(P) := \max_{P \in \mathcal{P}} \langle u, Pv \rangle.$$

Problème d'optimisation

Fonction de coût

$$\max_{P \in \mathcal{P}} J(P) := \max_{P \in \mathcal{P}} \langle u, (\mathcal{I}_N - PD)^{-1} Pv \rangle,$$

Problème simplifié

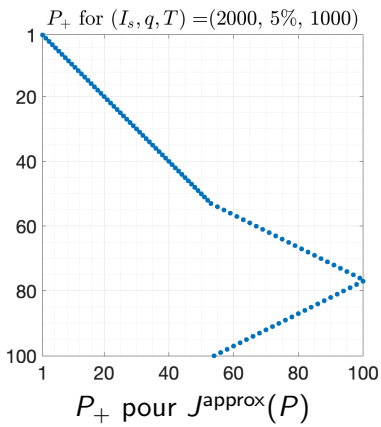
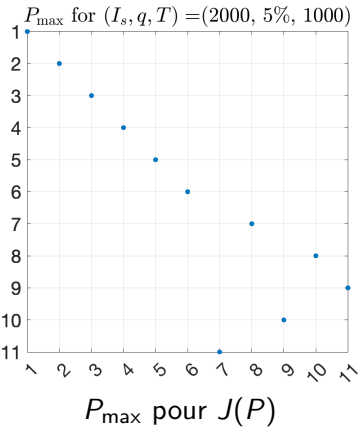
$$\max_{P \in \mathcal{P}} J^{\text{approx}}(P) := \max_{P \in \mathcal{P}} \langle u, Pv \rangle.$$

Lemma (matrice optimale du problème simplifié)

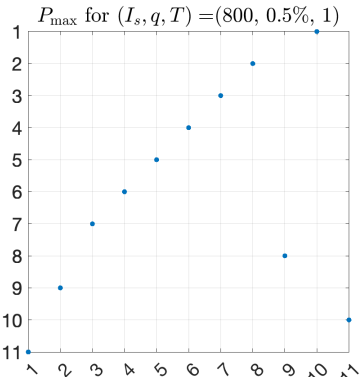
P_+ : associe le *plus grand coefficient de u* au *plus grand coefficient de v* ,
le deuxième plus grand coefficient au deuxième plus grand, et ainsi de suite.

P_- : associe le *plus grand coefficient de u* au *plus petit coefficient de v* ,
le deuxième plus grand coefficient au deuxième plus petit, et ainsi de suite.

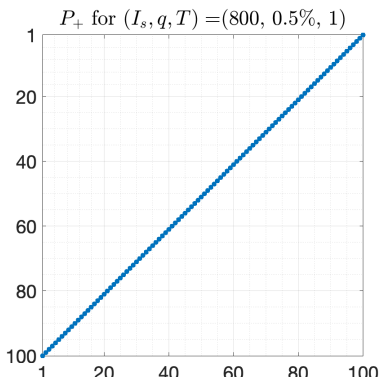
Matrice optimale



Matrice optimale



P_{\max} pour $J(P)$



P_+ pour $J^{\text{approx}}(P)$

Qualité de l'approximation

Theorem (Coincidence Criterion: $P_{\max} = P_+$?)

Assume that u and v have positive entries and define

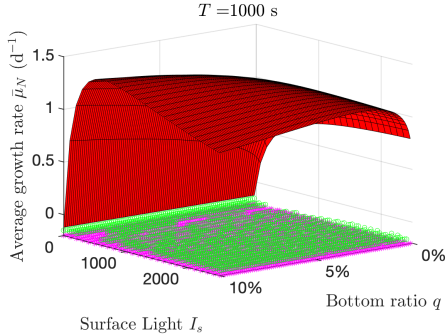
$$\phi(m) := \frac{1}{s_{\lceil \frac{m}{2} \rceil}} \left(\sum_{\ell=1}^{+\infty} d_{\max}^\ell F_{(\ell+1)m}^+ - d_{\min}^\ell F_{(\ell+1)m}^- \right), \quad (1)$$

where $m := \# \{n = 1, \dots, N \mid \sigma(n) \neq \sigma_+(n)\}$, $d_{\max} := \max_{n=1,\dots,N}(d_n)$ and $d_{\min} := \min_{n=1,\dots,N}(d_n)$. Assume that:

$$\max_{m \geq 2} \phi(m) \leq 1. \quad (2)$$

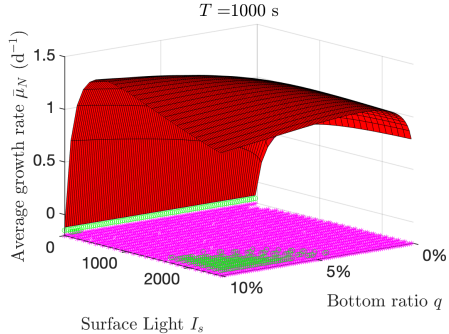
Then $P_{\max} = P_+$.

Qualité de l'approximation



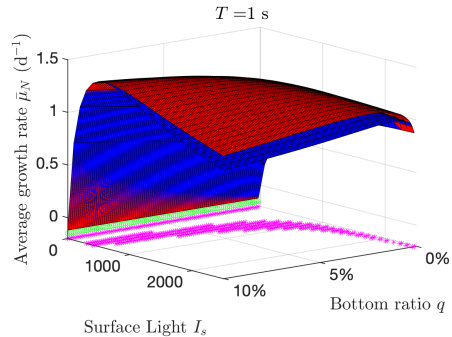
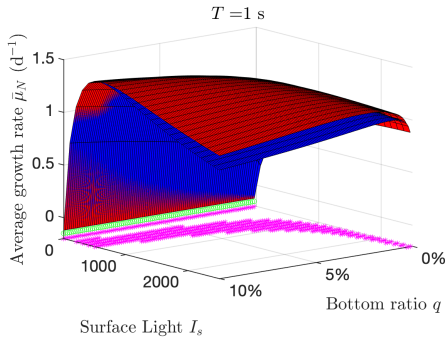
$N = 5$

- $\bar{\mu}_N(P_{\max})$ et $\bar{\mu}_N(P_+)$.
- $P_{\max} = P_+$.
- Critère de coïncidence **satisfait**.



$N = 9$

Qualité de l'approximation



$N = 5$

- $\bar{\mu}_N(P_{\max})$ et $\bar{\mu}_N(P_+)$.
- $P_{\max} = P_+$.
- Critère de coïncidence satisfait.

$N = 9$

Qualité de l'approximation

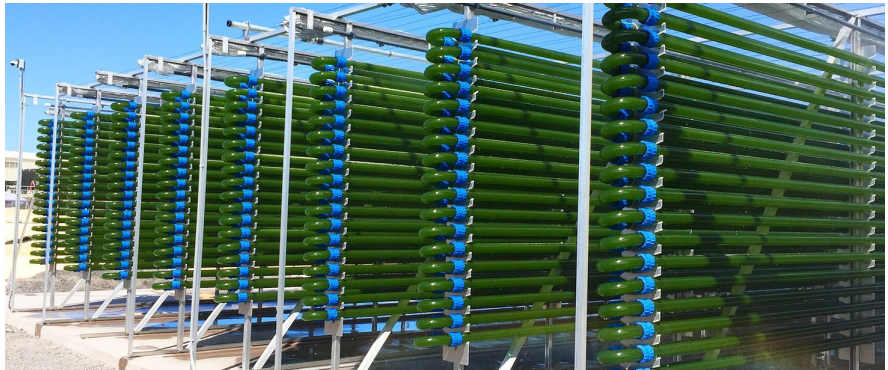


Figure: Tubular reactor

Productivité

- ▶ Productivité de biomasse surfacique $\Pi := (\bar{\mu} - R)Xh$.

Productivité

- ▶ Productivité de biomasse surfacique $\Pi := (\bar{\mu} - R)Xh$.
- ▶ Extinction: expression générale $\varepsilon(X)$.

Productivité

- ▶ Productivité de biomasse surfacique $\Pi := (\bar{\mu} - R)Xh$.
- ▶ Extinction: expression générale $\varepsilon(X)$.
- ▶ *Masci et al. 2010*: condition optimale est $\mu(I(h_{\text{opt}})) = R$ (condition de compensation).

Productivité

- ▶ Productivité de biomasse surfacique $\Pi := (\bar{\mu} - R)Xh$.
- ▶ Extinction: expression générale $\varepsilon(X)$.
- ▶ *Masci et al. 2010*: condition optimale est $\mu(I(h_{\text{opt}})) = R$ (condition de compensation).
- ▶ Fonction d'extinction (*Morel 1988, Martínez et al. 2018*)

$$\varepsilon(X) := \alpha_0 X^s + \alpha_1, 0 < s < 1.$$

Productivité

- ▶ Productivité de biomasse surfacique $\Pi := (\bar{\mu} - R)Xh$.
- ▶ Extinction: expression générale $\varepsilon(X)$.
- ▶ *Masci et al. 2010*: condition optimale est $\mu(I(h_{\text{opt}})) = R$ (condition de compensation).
- ▶ Fonction d'extinction (*Morel 1988, Martínez et al. 2018*)

$$\varepsilon(X) := \alpha_0 X^s + \alpha_1, 0 < s < 1.$$

- ▶ Modèle de taux de croissance: Haldane

$$\mu(I) = \mu_{\max} \frac{I}{I + \frac{\mu_{\max}}{\theta} \left(\frac{I}{I^*} - 1 \right)^2}.$$

Productivité

- ▶ Productivité de biomasse surfacique $\Pi := (\bar{\mu} - R)Xh$.
- ▶ Extinction: expression générale $\varepsilon(X)$.
- ▶ *Masci et al. 2010*: condition optimale est $\mu(I(h_{\text{opt}})) = R$ (condition de compensation).
- ▶ Fonction d'extinction (*Morel 1988, Martínez et al. 2018*)

$$\varepsilon(X) := \alpha_0 X^s + \alpha_1, 0 < s < 1.$$

- ▶ Modèle de taux de croissance: Haldane

$$\mu(I) = \mu_{\max} \frac{I}{I + \frac{\mu_{\max}}{\theta} \left(\frac{I}{I^*} - 1 \right)^2}.$$

- ▶ *Productivité optique* $P := (\bar{\mu} - R)Y$ avec le *profondeur optique* $Y := \varepsilon(X)h$.

Productivité

- ▶ Productivité de biomasse surfacique $\Pi := (\bar{\mu} - R)Xh$.
- ▶ Extinction: expression générale $\varepsilon(X)$.
- ▶ *Masci et al. 2010*: condition optimale est $\mu(I(h_{\text{opt}})) = R$ (condition de compensation).
- ▶ Fonction d'extinction (*Morel 1988, Martínez et al. 2018*)

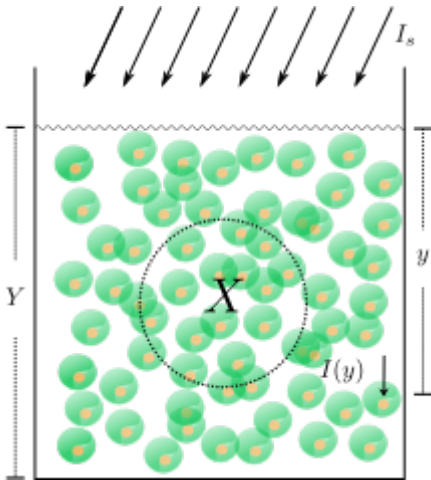
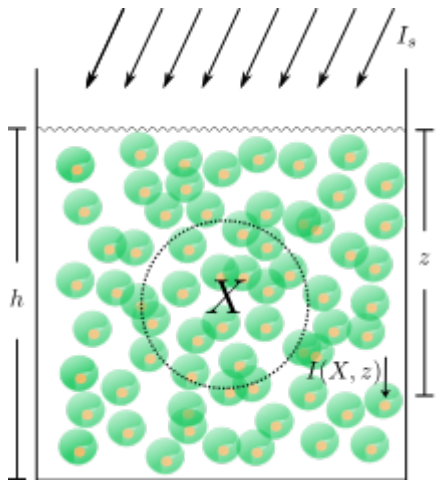
$$\varepsilon(X) := \alpha_0 X^s + \alpha_1, 0 < s < 1.$$

- ▶ Modèle de taux de croissance: Haldane

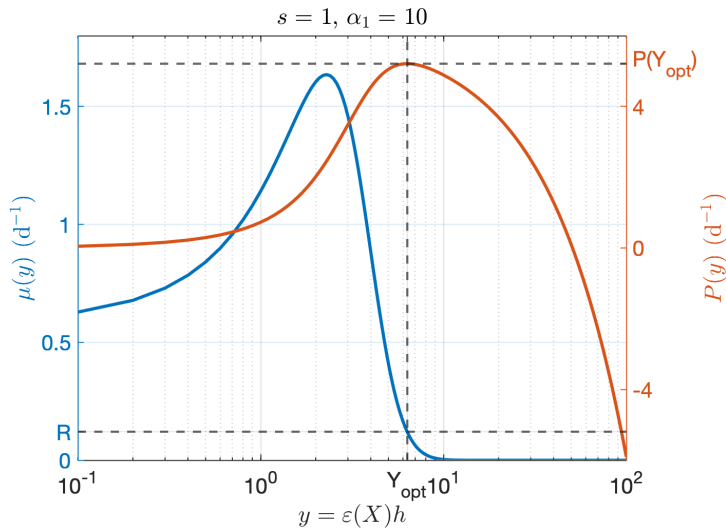
$$\mu(I) = \mu_{\max} \frac{I}{I + \frac{\mu_{\max}}{\theta} \left(\frac{I}{I^*} - 1 \right)^2}.$$

- ▶ *Productivité optique* $P := (\bar{\mu} - R)Y$ avec le *profondeur optique* $Y := \varepsilon(X)h$.
- ▶ Relation entre deux productivité: $\Pi = \frac{X}{\varepsilon(X)} P$.

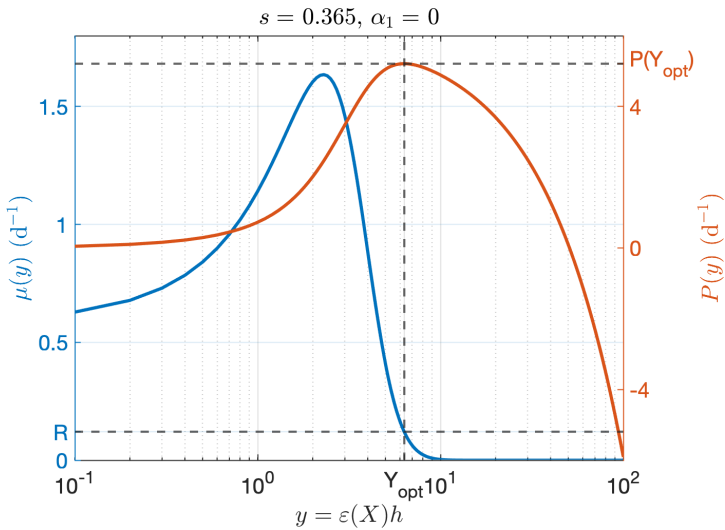
Productivité



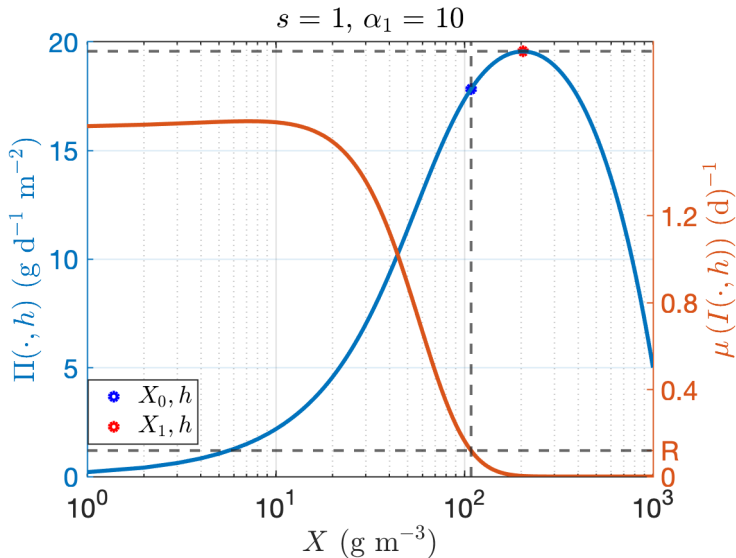
Productivité



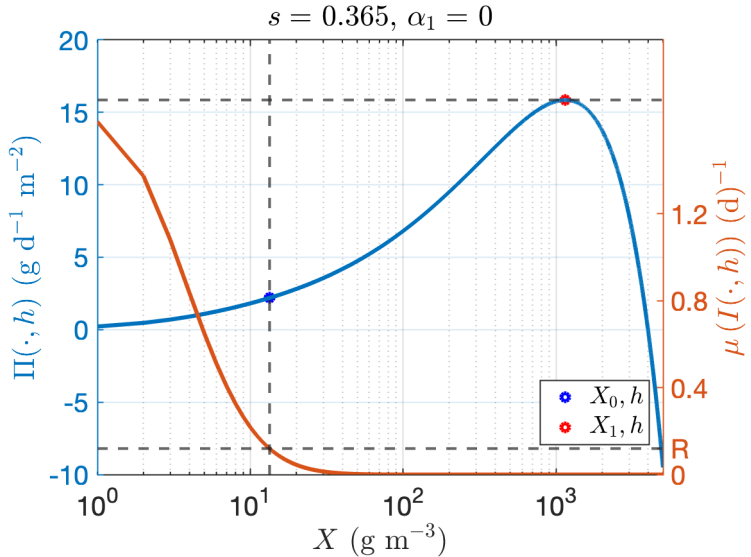
Productivité



Productivité



Productivité



Maximiser la productivité

- Relation entre deux productivité: $\Pi = \frac{X}{\varepsilon(X)} P.$

Maximiser la productivité

- ▶ Relation entre deux productivité: $\Pi = \frac{X}{\varepsilon(X)} P.$
- ▶ Pour X_0 donné, considérons une suite $(X_n, h_n)_{n \in \mathbb{N}}$ définie par

$$h_n = \frac{Y_{\text{opt}}}{\varepsilon(X_{n-1})}, \quad X_n := \operatorname{argmax}_{X \in \mathbb{R}_+} \Pi(X, h_n).$$

Maximiser la productivité

- Relation entre deux productivité: $\Pi = \frac{X}{\varepsilon(X)} P.$
- Pour X_0 donné, considérons une suite $(X_n, h_n)_{n \in \mathbb{N}}$ définie par

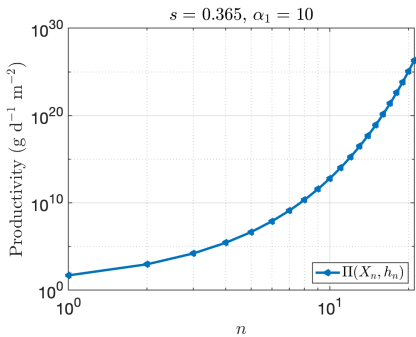
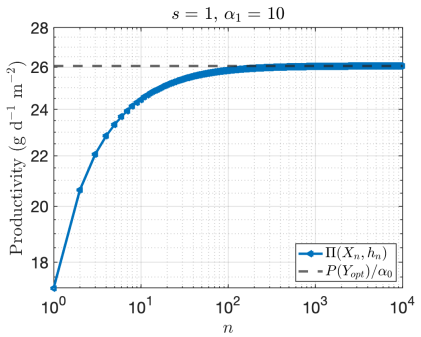
$$h_n = \frac{Y_{\text{opt}}}{\varepsilon(X_{n-1})}, \quad X_n := \operatorname{argmax}_{X \in \mathbb{R}_+} \Pi(X, h_n).$$

Theorem

$\lim_{n \rightarrow \infty} h_n = 0$, $\lim_{n \rightarrow \infty} X_n = +\infty$ et

$$\lim_{n \rightarrow \infty} \Pi(X_n, h_n) = \begin{cases} \frac{P(Y_{\text{opt}})}{\alpha_0}, & s = 1, \\ +\infty, & s < 1. \end{cases}$$

Maximiser la productivité



Contrôller non-linéaire

- ▶ Pour un h donné, trouvons $X_{\text{opt}}(h)$.

Contrôller non-linéaire

- ▶ Pour un h donné, trouvons $X_{\text{opt}}(h)$.
- ▶ Evolution de la concentration de biomasse $\dot{X} = (\bar{\mu} - R - \textcolor{blue}{D})X$.

Contrôller non-linéaire

- ▶ Pour un h donné, trouvons $X_{\text{opt}}(h)$.
- ▶ Evolution de la concentration de biomasse $\dot{X} = (\bar{\mu} - R - D)X$.

Proposition

La loi de contrôle

$$D = \begin{cases} D_{\max} & X \geq \bar{X} \\ (\bar{\mu}(X, h) - R) \frac{X}{X^*} & X < \bar{X} \end{cases}$$

stabilise globalement l'évolution de X vers le point ciblé X^ .*

Contrôller non-linéaire

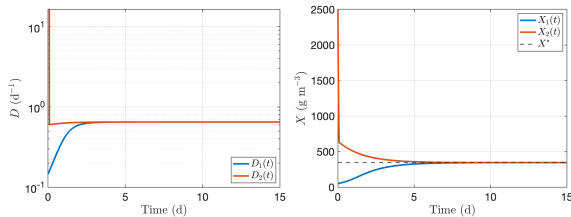
- ▶ Pour un h donné, trouvons $X_{\text{opt}}(h)$.
- ▶ Evolution de la concentration de biomasse $\dot{X} = (\bar{\mu} - R - D)X$.

Proposition

La loi de contrôle

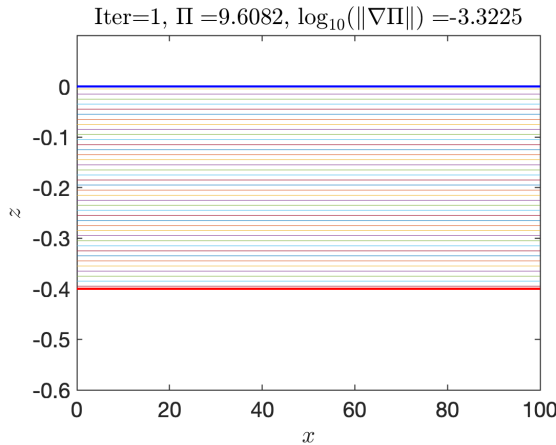
$$D = \begin{cases} D_{\max} & X \geq \bar{X} \\ (\bar{\mu}(X, h) - R) \frac{X}{X^*} & X < \bar{X} \end{cases}$$

stabilise globalement l'évolution de X vers le point ciblé X^ .*



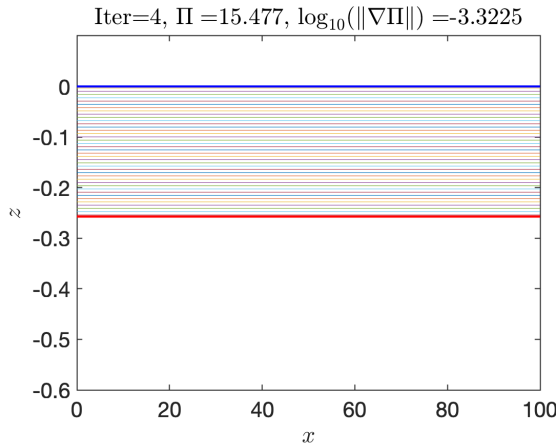
Optimiser profondeur, topographie et mélange

- ▶ Profondeur initial: $h = 0.4 \text{ m.}$
- ▶ Topographie initial: plate.



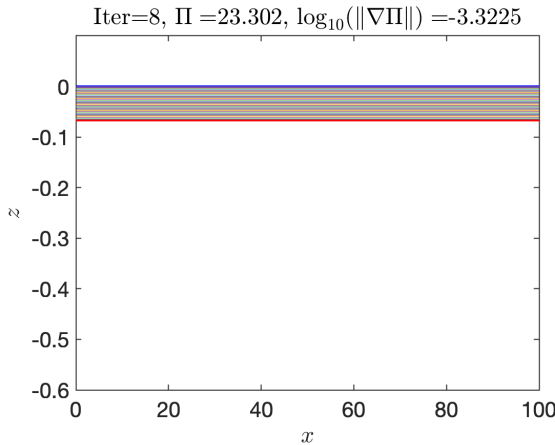
Optimiser profondeur, topographie et mélange

- ▶ Profondeur initial: $h = 0.4 \text{ m.}$
- ▶ Topographie initial: plate.



Optimiser profondeur, topographie et mélange

- ▶ Profondeur initial: $h = 0.4 \text{ m.}$
- ▶ Topographie initial: plate.



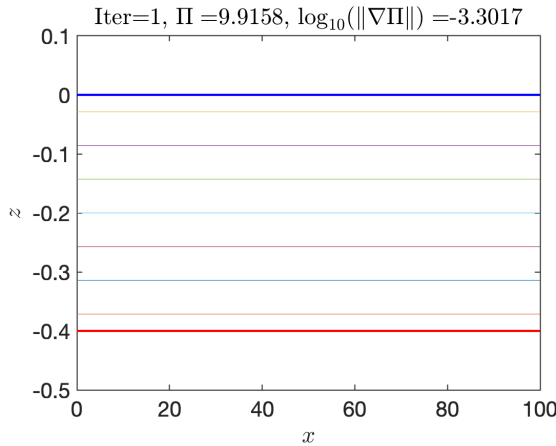
Optimiser profondeur, topographie et mélange

- ▶ Nombre de trajectoire: $N_z = 7$.
- ▶ Profondeur initial: $h = 0.4 \text{ m}$.
- ▶ Topographie initial: plate.

$$P_{\max}^{100} = \begin{pmatrix} 0 & 0 & 0 & 1 & 0 & 0 & 0 \\ 0 & 0 & 0 & 0 & 0 & 1 & 0 \\ 0 & 0 & 0 & 0 & 0 & 0 & 1 \\ 0 & 0 & 0 & 0 & 1 & 0 & 0 \\ 0 & 0 & 1 & 0 & 0 & 0 & 0 \\ 0 & 1 & 0 & 0 & 0 & 0 & 0 \\ 1 & 0 & 0 & 0 & 0 & 0 & 0 \end{pmatrix}$$

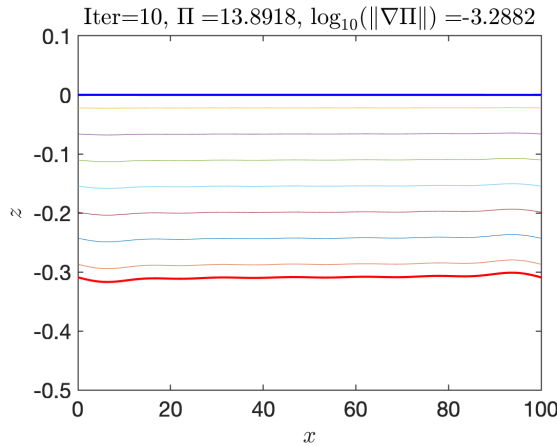
Optimiser profondeur, topographie et mélange

- ▶ Nombre de trajectoire: $N_z = 7$.
- ▶ Profondeur initial: $h = 0.4 \text{ m}$.
- ▶ Topographie initial: plate.



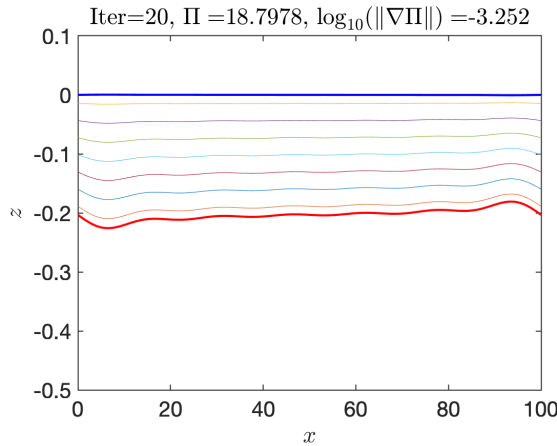
Optimiser profondeur, topographie et mélange

- ▶ Nombre de trajectoire: $N_z = 7$.
- ▶ Profondeur initial: $h = 0.4 \text{ m}$.
- ▶ Topographie initial: plate.



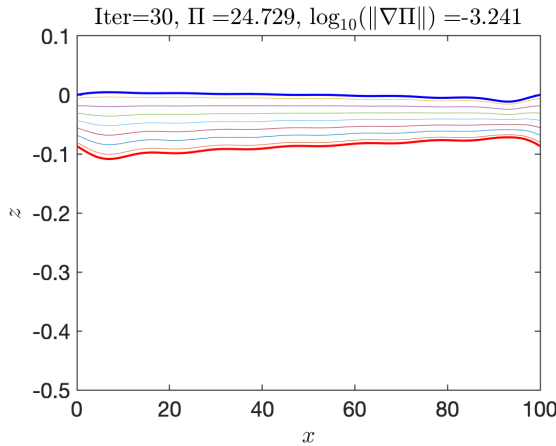
Optimiser profondeur, topographie et mélange

- ▶ Nombre de trajectoire: $N_z = 7$.
- ▶ Profondeur initial: $h = 0.4 \text{ m}$.
- ▶ Topographie initial: plate.



Optimiser profondeur, topographie et mélange

- ▶ Nombre de trajectoire: $N_z = 7$.
- ▶ Profondeur initial: $h = 0.4 \text{ m}$.
- ▶ Topographie initial: plate.



Conclusion

- ▶ Topographie:
Plate dans le cas périodique, et non-plate avec limitée augmentation.
- ▶ Mélange:
Différentes allures selon les paramètres.
- ▶ Profondeur / concentration:
Forte concentration avec petit profondeur.
- ▶ Gain:

Topographie	Mélange	Profondeur
$\approx 1 \%$	$\approx 30 \%$	$\approx 100 \%$

Merci pour votre attention !